

İSTANBUL ÜNİVERSİTESİ İSTİKLAL CADDESİ 100
3 (2), 99-112 (1987) T. C. MARMARA ÜNİVERSİTESİ

MARMARA ÜNİVERSİTESİ İSTİKLAL CADDESİ 100
3 (2), 99-112 (1987) ECZACILIK FAKÜLTESİ
KÜTÜPHANE

KARIŞIMLARIN SPEKTROFOTOMETRİK ANALİZLERİ

SPECTROPHOTOMETRIC DETERMINATION OF MIXTURES

Aysel ÖZTUNÇ*

ÖZET

Bu çalışmada, karışımlardaki maddelerin yanyana spektrofotometrik analizleri için uygulanan yöntemler derlenmiştir.

SUMMARY

The present article reviews spectrophotometric methods for simultaneous determination of components in mixtures.

GİRİŞ

Karışımlardaki maddelerin analizi ile sık karşılaşılır. Bu analizlerde maddeler birbirlerinin tayinini etkiliyorsa çeşitli yöntemlerle (ekstraksiyon, çöktürme, kromatografi vs) ayrılması gereklidir. Bu işlem hem zaman kaybına neden olur, hem de analizlerdeki hata kaynaklarından birisidir. Bu makalenin konusu, karışımlardaki, birbirinin tayinini etkileyen maddelerin yanyana spektrofotometrik analizleri için kullanılan yöntemlerdir.

DENKLEMLERİN BİRARADA ÇÖZÜMÜ YÖNTEMİ

Bilindiği gibi spektrofotometrik tayinler Beer kanununa göre, öelli konsantrasyon aralığında, absorbansın konsantrasyonla orantılı olması esasına dayanır. Bir X maddesi çözeltisinin λ_1 dalga boyunda ölçülen absorbansı A_{x_1} , aşağıdaki eşitlikte verilmiştir.

$$A_{x_1} = a_{x_1} bC_x \quad (1)$$

* İ. Ü. Eczacılık Fakültesi Analitik Kimya Anabilim Dalı, Beyazıt/İSTANBUL

Burada C_x maddenin konsantrasyonu (g/l), a_{x_1} ise λ_1 dalga boyundaki absorptivitesidir. Tabaka kalınlığı b , genellikle 1 cm olduğundan sonraki eşitliklerde yazılmayacaktır.

Bir çözeltide X ve Y maddeleri varsa, madde konsantrasyonlarını (C_x , C_y) bulmak için iki dalga boyunda ölçme yapmak gereklidir. Karışımın λ_1 ve λ_3 dalga boylarındaki (Şekil 1) absorbansları A_1 ve A_3 , her iki maddenin ayrı ayrı absorbanslarının toplamına eşittir.

$$A_1 = a_{x_1} C_x + a_{y_1} C_y \quad (2a)$$

$$A_3 = a_{x_3} C_x + a_{y_3} C_y \quad (2b)$$

Yukarıdaki eşitliklerden konsantrasyonlar bulunur:

$$C_x = (a_{y_3} A_1 - a_{y_1} A_3) / (a_{y_3} a_{x_1} - a_{y_1} a_{x_3}) \quad (3a)$$

$$C_y = (a_{x_1} A_3 - a_{x_3} A_1) / (a_{x_1} a_{y_3} - a_{x_3} a_{y_1}) \quad (3b)$$

3 nolu eşitlikler kullanılarak asetilsalisilik asid-salisilik asid ve teofromin-kafein karışımının analizi yapılmıştır (1, 2). $a_{y_3} A_1 / a_{y_3} a_{x_1} - a_{y_1} a_{x_3}$ değeri α_1 ve benzer şekilde diğerleri de α_3 , β_3 ve β_1 ile gösterilirse son eşitlikler aşağıdakilere dönüşürler.

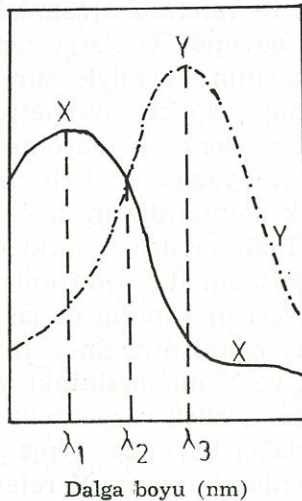
$$C_x = \alpha_1 A_1 - \alpha_3 A_3 \quad (4a)$$

$$C_y = \beta_3 A_3 - \beta_1 A_1 \quad (4b)$$

Göründüğü gibi konsantrasyonlar, iki dalga boyunda ölçülen absorbansların, uygun çarpma faktörleri (α , β) kullanılarak, farklılarından bulunur. α ve β değerleri absorptivitelerden hesaplanabildiği gibi, X ve Y içeren bir seri sentetik karışımın λ_1 ve λ_3 'deki absorbanslarını ölçerek ve elde edilen verilere «multiple regression» uygulayarak da elde edilebilir. Niebergall ve Mattocks (3) salisilik asid ve salisilamid içeren ikili karışımının analizinde α ve β değerlerini bu yolla hesaplamışlar ve bu yöntemin daha doğru sonuçlar verdiği bildirmiştir.

Analizlerde doğruluk derecesinin yüksek olması için maddenin absorptivitelerinin birbirinden önemli derecede farklı olduğu dalga boyları seçilmelidir. Bu nedenle bir maddenin tek başına iken tayininde kullanılan maksimum absorpsiyon gösterdiği dalga boyu (λ_{\max}) bir karışımındaki analizi için uygun olmayabilir. Örneğin aspirin için λ_{\max} , 276 nm olmasına karşın aspirin - fenasetin karışımındaki analizinde 229 nm dalga boyu kullanılmıştır. Şekil 1 de varsayılan spektrumları görülen X ve Y maddelerinin karışımının

analizinde, $a_x - a_y$ ve $a_y - a_x$ farklıları sırasıyla λ_1 ve λ_3 de en büyük olduğu için analizde bunlar seçilir.



Şekil 1. X ve Y maddelerinin varsayılan spektrumları.

$a_x = a_y$ olduğu, yani iki maddenin aynı absorptivite değerine (a_x) sahip olduğu bir dalga boyunun (isosbestik = isoabsorptif nokta) bulunduğu durumda (Şekil 1 de λ_2), bu dalga boyundaki absorbans A_2 den X ve Y nin toplam konsantrasyonu (C) bulunur (Eşit. 5). C_x ve C_y de 6a ve 6b eşitliklerinden hesaplanır.

$$A_2 = a_2 (C_x + C_y) = a_2 C \quad (5)$$

$$C_x = \frac{1}{a_2} \cdot \frac{a_{y_3} A_2 - a_2 A_3}{a_{y_3} - a_{x_3}} \quad (6a)$$

$$C_y = \frac{1}{a_2} \cdot \frac{a_2 A_3 - a_{x_3} A_2}{a_{y_3} - a_{x_3}} \quad (6b)$$

İisosbestik noktanın saptanmasında diferansiyel sektrofotometriden yararlanılır. X maddesinin spektrumu alınırken referans çözelti olarak aynı konsantrasyondaki Y çözeltisi kullanılrsa absorbansın sıfır olduğu dalga boyu isosbestik noktadır. Maddelerin absorpsiyon spektrumları birbirine çok benziyorsa, ikili bir karışımın analizinde iki dalga boyunda ölçme yapmak yeterli olmaz. Jones ve arkadaşları (4) absorpsiyon spektrumları birbirine çok benzediği için denklemlerin birarada çözümü ile tatlınkar şekilde tayin

edilemeyen fluoressein boyalarının 2-, 3-, ve 4-'lü karışımlarını «değişken referans spektrofotometri» adı verilen yöntemle analiz etmişlerdir. Bu yöntemde referans standarı olarak kullanılan çözeltinin bileşimi, örnek ile referans arasındaki absorbans farkı bir veya daha fazla dalga boyunda O olana kadar, karışımındaki maddelerden bir veya birkaçının ilavesiyle sürekli olarak değiştirilir. Yöntem örnek çözeltisinin, Spektrofotometreyi «indikatör» olarak kullanarak standard çözeltilerle «titrasyonu» olarak düşünülebilir. Yöntemin tek ışınılı veya yazıcısız aletlerde uygulanması pratik değildir, çünkü değişik standardların spektrumlarını elde etmek zaman ve emek ister. Hızlı kaydeden spektrofotometreler için metod uygundur. Allen ve Hammaker tarafından bildirilen (5) ve «Y referans metodu» adı verilen yöntem de benzer prensibe dayanır. Bu yöntemde, bir karışımındaki örneğin X maddesinin konsantrasyonu tayin edilecekse, ve Y maddesinin yaklaşık olarak biliniyorsa referans olarak saf çözücü yerine bilinen konsantrasyondaki Y çözeltisi alınır. İki dalga boyunda ölçme yapılır ve uygun eşitliklerden konsantrasyonlar bulunur. Y referans çözeltisinin konsantrasyonu seçilen dalga boylarından birinde okunan absorbans sıfır olana kadar değiştirilirse eşitliklerin çözümü daha basitleşir. Araştırcılar bu yöntemle absorpsiyon spektrumları birbirine çok benzeyen 2-amino-4-metil pirimidin ve 2-amino-4, 6-dimetil pirimidin karışımındaki ikinci maddenin tayinini yapmışlardır. Allen ve Riemann (6) karışılardaki yalnızca bir maddenin tayini ile ilgili prensipleri ayrıntılı olarak incelemiştir.

Karışımın analizinde, özellikle analiz için seçilmiş dalga boylarında ilgisiz (irrelevant) adsorpsiyonlar varsa, bunların ortogonal fonksiyonlar kullanılarak düzeltilmesi mümkündür (7-10).

Eğer bir karışımında ikiden fazla, örneğin n tane madde varsa, n sayıda dalga boyunda ölçme yapılır ve konsantrasyonları bulmak için ilgili eşitlikler birarada çözülür.

$$A_1 = a_{1_1} C_1 + a_{2_1} C_2 + a_{3_1} C_3 + \dots + a_{n_1} C_n \quad (7a)$$

$$A_n = a_{1_n} C_1 + a_{2_n} C_2 + a_{3_n} C_3 + \dots + a_{n_n} C_n \quad (7b)$$

Madde sayısı arttıkça çözüm zorlaşır, bilgisayarlardan yararlanılır. Barnett ve Bartoli (11) sentetik karışılardan elde ettikleri absorbans verilerine en küçük kareler yöntemini uygulayarak bu karışılardaki madde konsantrasyonlarının seçilen dalga boy-

larındaki absorbanslarla ilişkisini gösteren K sabitlerini hesaplamışlar ve son eşitlikleri direkt olarak türetmişlerdir.

Çok maddeli sistemlerin analizinde, sonuçların doğruluk ve kalitesini artırmak için karışımındaki madde sayısından daha fazla sayıdaki dalga boyunda ölçme yapılır ve elde edilen verileri içeren doğrusal eşitlikler birarada çözülerek konsantrasyonlar hesaplanır. Analizde kullanılan dalga boylarının pozisyon ve sayı olarak seçimi ve elde edilen verilerden sonuçların hesaplanması ile ilgili pek çok araştırma yayınlanmıştır (12-28). Araştıracıların çoğu madde sayısının 5-10 katı sayıda dalga boyu kullanılmasının yeterli olduğunu bildirmiştir (12, 14, 15, 19, 20). Przybylski ve Kramarz (21) madde spektrumları çok benzer olduğunda yukarıdaki oranda dalga boyu kullanılmasını, ancak spektrumlar biraz farklı olduğunda madde sayısının 2-5 katı sayıda dalga boyunda ölçme yapmanın tatminkâr sonuçlar verebileceğini belirtmişlerdir. Gudym ve Vorob'eva (24) optimum dalga boyu sayısının öngörülebileceği bir formül türetmişler ve bazen dalga boyu sayısını artırarak elde edilen ilave verilerin doğruluğu azalttığını belirtmişlerdir. Burada sisteme, çakışan absorpsiyon bandlarından ileri gelen hatalar katılmaktadır.

Optimum dalga boylarının seçiminde değişik kriterler kullanılmıştır. Madde sayısı ve analitik dalga boyu arttıkça değerlendirme zorlaşır, çünkü incelenen tüm kombinasyonlara tekabül eden fonksiyonların hesaplanması gerekdir. Przybylski (22) dalga boylarının seçiminde, karışımındaki maddelerin hepsi için tespit ettiği «metodun katılığindeki hata»yı kriter olarak almış ve bu fonksiyon açısından en düşük sayısal değere sahip olan kombinasyonu optimum olarak seçmiştir. Kats ve Rozkin (25) karışımındaki her maddenin birçok dalga boyundaki absorptivitelerini tayin ederek, her dalga boyunda bu değerlerin toplam absorbansa ilgisini gösteren γ faktörlerini hesaplamışlardır. Her madde için minimum hatayı sağlayan en uygun dalga boyu, bu faktörün maksimum olduğu dalga boyudur. Sustek (27) absorptivitelerin standard sapmalarını kriter olarak tavsiye etmektedir. Kats (29) dalga boylarının seçimindeki kriterler ile ilgili bir derleme yayımlamıştır.

Çok maddeli karışımın analizinde, seçilen dalga boylarından bir veya birkaçında maddelerden bazılarının toplam absorbansındaki payı önemli değilse ilk yaklaşımda bunlar ihmal edilerek eşitlikler basitleştirilir ve ilk C_1, C_2, \dots, C_n konsantrasyon değerleri bulunur. Sonra bunlar tüm terimlerin bulunduğu eşitliklerde yer-

lerine konarak yeni konsantrasyon değerleri bulunur ve işleme istenen doğuluk derecesine varılana kadar devam edilir. Clayton ve Thiers salisilik asit, asetilsalisilik asit, salisilamid, kafein ve fenasetinin tablet ve tozlarda yanyana analizinde böyle bir yol izlemişlerdir (30).

ABSORBANS ORANINA DAYANAN YÖNTEMLER: Q ANALİZİ

Bir madde çözeltisinin iki dalga boyunda ölçülen absorbanslarının oranı absorptivitelerinin oranına eşittir, dolayısıyla da sabittir ve konsantrasyona bağımlı değildir. Örneğin X maddesi için λ_1 ve λ_3 deki absorbanslar A_1 ve A_3 ise absorbans oranı

$$Q : 1 : 3 = \frac{A_1}{A_3} = \frac{a_{x_1} C_x}{a_{x_3} C_x} = \frac{a_{x_1}}{a_{x_3}}$$

dir. Bir karışımın absorbans oranını ise karışimdaki maddelerin birbirine oranı yani relatif konsantrasyonları belirler ve dolayısıyla bu oran seyreltme ile değişmez.

1. İkili Karışımının Relatif Analizleri

a) Analiz için seçilen dalga boyları maddelerin λ_{\max} ları ise: Örneğin X ve Y karışımının analizinde, Şekil 1 de görülen λ_1 ve λ_3 dalga boylarındaki absorbanslar A_1 ve A_3 ise karışımın absorbans oranı

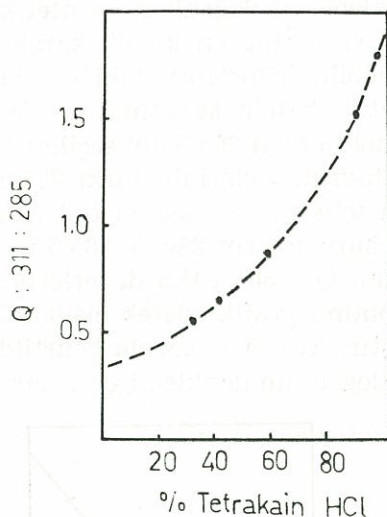
$$Q_0 : 1 : 3 = \frac{A_1}{A_3} = \frac{a_{x_1} C_x + a_{y_1} C_y}{a_{x_3} C_x + a_{y_3} C_y} \quad (9)$$

dir. Yukarıdaki eşitlikten hareketle 10 no.lu formül türetilmiştir (31). Burada $F_x = C_x / C_x + C_y$, yani X maddesinin karışimdaki relatif konsantrasyonudur.

$$Q_0 = \frac{F_x (a_{x_1} - a_{y_1}) + a_{y_1}}{F_x (a_{x_3} - a_{y_3}) + a_{y_3}} \quad (10)$$

Bu eşitlik, analiz için λ_{\max} lar seçildiğinde, maddelerden birinin relatif konsantrasyonu (F_x) absiste, karışımın Q_0 değerleri ise ordinatta olmak üzere çizilen grafiğin bir eğri olduğunu göstermektedir. Analiz, X ve Y içeren bir seri sentetik karışımın Q_0 değerlerini bularak ve bu değerleri, maddelerden birinin relatif konsantrasyonu

nuna karşı grafik ederek hazırlanan «Q eğrisi» yardımıyla yapılır. Analizi yapılacak karışımın Q_0 değerinden grafik yardımıyla relativ konsantrasyonlar bulunur. Sulu çözeltideki λ_{\max} ları sırasıyla 311 ve 285 nm olan tetrakain HCl ve benzokain karışımının relativ analizleri bu yolla yapılmıştır (32). Q eğrisi şekil 2'de görülmektedir.



Şekil 2. Tetrakain HCl ve benzokain için Q eğrisi.

b) Analiz için seçilen dalga boylarından biri maddelerden birinin λ_{\max} u, diğeri ise bir isoabsorptif noktası ise: Bu dalgaboylarının ölçülen absorbanslar A_1 ve A_2 den hareketle türetilmelerinden sonra aşağıdaki eşitlik elde edilir (31).

$$Q_0 = F_x (Q_x - Q_y) + Q_y \quad (11)$$

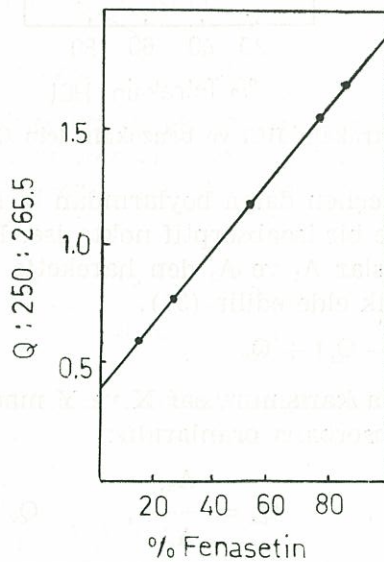
Q_0 , Q_x ve Q_y sırasıyla karışımın, saf X ve Y maddelerinin seçilen dalgaboylarındaki absorbans oranlarıdır:

$$Q_0 = \frac{A_1}{A_2}, \quad Q_x = \frac{A_{x_1}}{A_{x_2}}, \quad Q_y = \frac{A_{y_1}}{A_{y_2}}$$

Göründüğü gibi relativ analiz, karışımın ve saf maddelerin absorbans oranlarını tayin ederek yapılabilir. Absorbans oranları konsantrasyona bağlı olmadığından analizdeki seyreltme ve tartma hataları sonucu etkilemez.

Eşitlik 10 bir doğru denklemidir, yani maddelerden birinin relativ konsantrasyonuna karşı karışımın absorbans oranları grafik edildiğinde bir doğru elde edilir. Doğrunun eğim değerini ($Q_x - Q_y$),

y eksenini kestiği noktadaki (yani $F_x = 0$) absorbans oranı değerini ise Q_y belirler. X maddesinin maksimum absorpsiyon gösterdiği dalga boyunda X ve Y nin absorptivitelerinin farkı ne kadar büyükse eğim değeri ($Q_x - Q_y$), dolayısıyla da analizin doğruluk derecesi o kadar büyük olur. Ancak ölçülen A_y değerlerinin çok düşük olması bu doğruluk derecesini sınırlar. Absorbans oranları ile bulunan doğru denkleminin doğruluğu, sentetik karışımlardan elde edilen absorbans verilerine en küçük kareler yöntemi uygulayarak kontrol edilebilir. Kloroformdaki λ_{max} ları sırasıyla 250 ve 275 nm olan fenasetin - kafein karışımının relativ analizi için 250 nm ve isoabsorptif nokta olan 265.5 nm seçilmiştir (32). 250 nm de her iki maddenin absorptivitelerinin farkı 275 nm dekine kıyasla daha büyük olduğu için λ_{max} olarak bu dalgaboyu tercih edilmiştir. Analiz, sentetik karışımların 250 ve 265.5 nm de ölçülen absorbanslarından bulunan $Q : 250 : 265.5$ değerlerine karşı fenasetinin relativ konsantrasyonunu grafik ederek çizilen Q grafiği (Şekil 3) yardımıyla yapılmıştır. Ayrıca yukarıda belirtildiği gibi, en küçük kareler yöntemiyle doğrunun denklemi de çıkarılmıştır.



Şekil 3. Fenasetin ve kafein için Q grafiği.

2. Mutlak konsantrasyonlarının bulunması

Analiz için seçilen dalga boyalarından biri isosbestik nokta ise absorbans oranlarını kullanarak mutlak konsantrasyonlar hesaplanabilir. $A_2 = a_2 (C_x + C_y)$ ve $Q_0 = F_x (Q_x - Q_y) + Q_y$ eşitliklerinden hareketle C_x için aşağıdaki formül çıkarılmıştır (31).

$$C_x = \frac{Q_0 - Q_y}{Q_x - Q_y} \cdot \frac{A_2}{a_2} \quad (12)$$

Burada A_2 isoabsorptif noktadaki karışımın absorbansı, a_2 ise bu noktadaki X (veya Y) nin absorptivite değeridir. Bu yolla prokain HCl-tetrakain HCl karışımındaki tetrakain HCl'in analizi yapılmıştır (32).

Absorbans oranı yöntemi ile ikili karışımların analizinde standart sapmanın ortalama olarak % 1'e yakın olduğu bildirilmişdir (32).

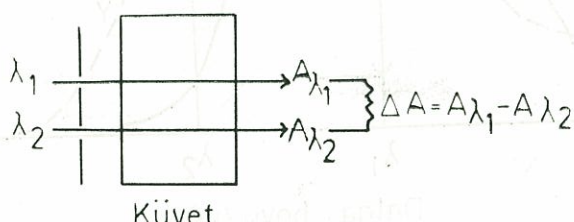
Absorbans oranlarına dayanarak, isosbestik nokta kullanılmadan da mutlak konsantrasyonlar tayin edilebilir. Bunun için, bir X, Y karışımındaki X maddesinin tayini isteniyorsa referans çözelti olarak saf X maddesinin bilinen konsantrasyondaki çözeltisi alınır. Sodyum benzoat-kafein karışımındaki sodyum benzoat bu yolla tayin edilmiştir (33).

Absorbans oranları üçlü karışımların relatif analizlerine de uygulanmıştır (34). 35-39 no.lu kaynaklar da absorbans oranlarını esas alan çalışmalardır.

ÇİFT-DALGA BOYLU (DUAL-WAVELENGTH) SPEKTROFOTOMETRİ

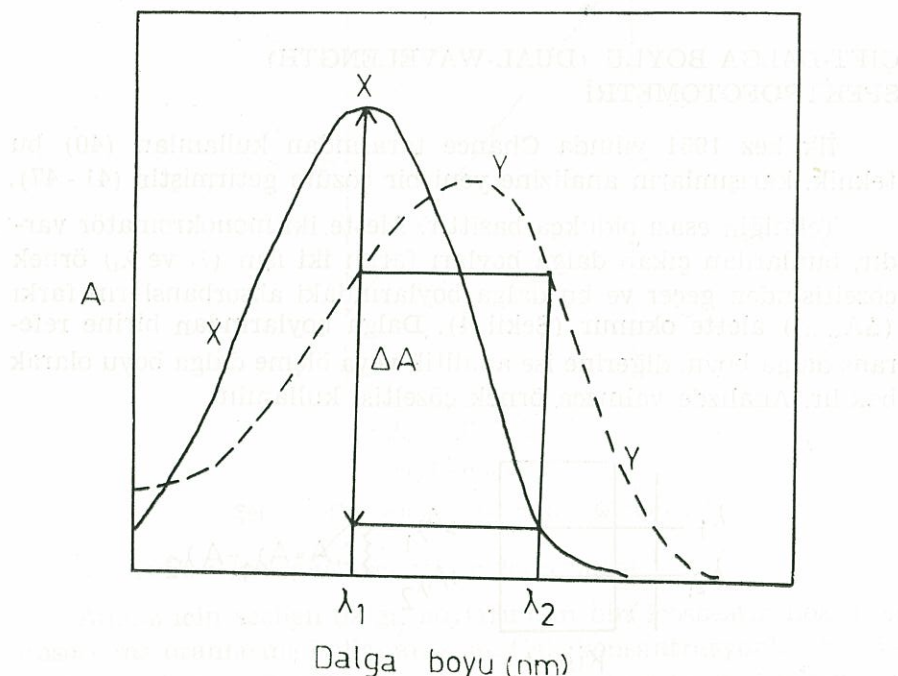
İlk kez 1951 yılında Chance tarafından kullanılan (40) bu teknik, karışımların analizine yeni bir çözüm getirmiştir (41 - 47).

Tekniğin esası oldukça basittir. Alette iki monokromatör vardır, bunlardan çıkan dalga boyları farklı iki ışın (λ_1 ve λ_2) örnek çözeltisinden geçer ve bu dalga boylarındaki absorbansların farkı ($\Delta A_{\lambda_1-\lambda_2}$) alette okunur (Şekil 4). Dalga boylarından birine referans dalga boyu, diğerine ise analitik veya ölçme dalga boyu olarak bakılır. Analizde yalnızca örnek çözeltisi kullanılır.



Şekil 4. Şematik olarak çift - dalga boylu spektrofometri.

Spektrumları şekil 5'te görülen X ve Y maddelerinin karışımında, Y'nin etkisinin ortadan kaldırılarak X'in tayin edilmesi isteniyorsa, Y'nin absorpsiyon spektrumundan aynı absorbansları gösteren iki dalgaboyu, λ_1 ve λ_2 , seçilir. Bu dalgaboyalarında, iki dalgaboylu (dual-wavelength) ölçme yapıldığında Y'nin konsantrasyonları değişse bile baz çizgi (base line) değişmez, yatay olarak kalır, çünkü $\Delta A_{\lambda_1-\lambda_2}$ sıfır eşittir. λ_1 ve λ_2 dalgaboyları iki madde nin absorpsiyon spektrumlarının şe kline göre seçilir. Belirtildiği gibi bu dalga boylarında Y aynı absorbansı göstermeli ve ayrıca tayin edilecek X maddesinin bu iki dalgaboyundaki absorbanslarının farkı uygun bir değerde olmalıdır. Şekil 5'teki X'in maksimum absorpsiyon gösterdiği dalgaboyu λ_1 , analitik dalgaboyu olarak seçilirse buradan x eksene bir dik çizilir. Bunun, Y'nin spektrumunu kestiği noktadan bir paralel çizilerek λ_2 bulunur. λ_1 ve λ_2 kombinasyonunda Y'nin konsantrasyonu değişse bile $A_{\lambda_1}-A_{\lambda_2}=\Delta A=0$ olduğundan baz çizgi değişmeyecek, yani Y'nin konsantras yönündeki değişim X'in tayinini etkilemeyecektir. Ayrıca λ_1 ve λ_2 kombinasyonunda ΔA değeri Şekil 5'te görüldüğü gibi X için yeterli büyülüktedir. Analitik dalga boyu olarak λ_{max} seçilemediği



Şekil 5. Dalga boylarının yaklaşık ilk seçimi ($C_x = C_y$)

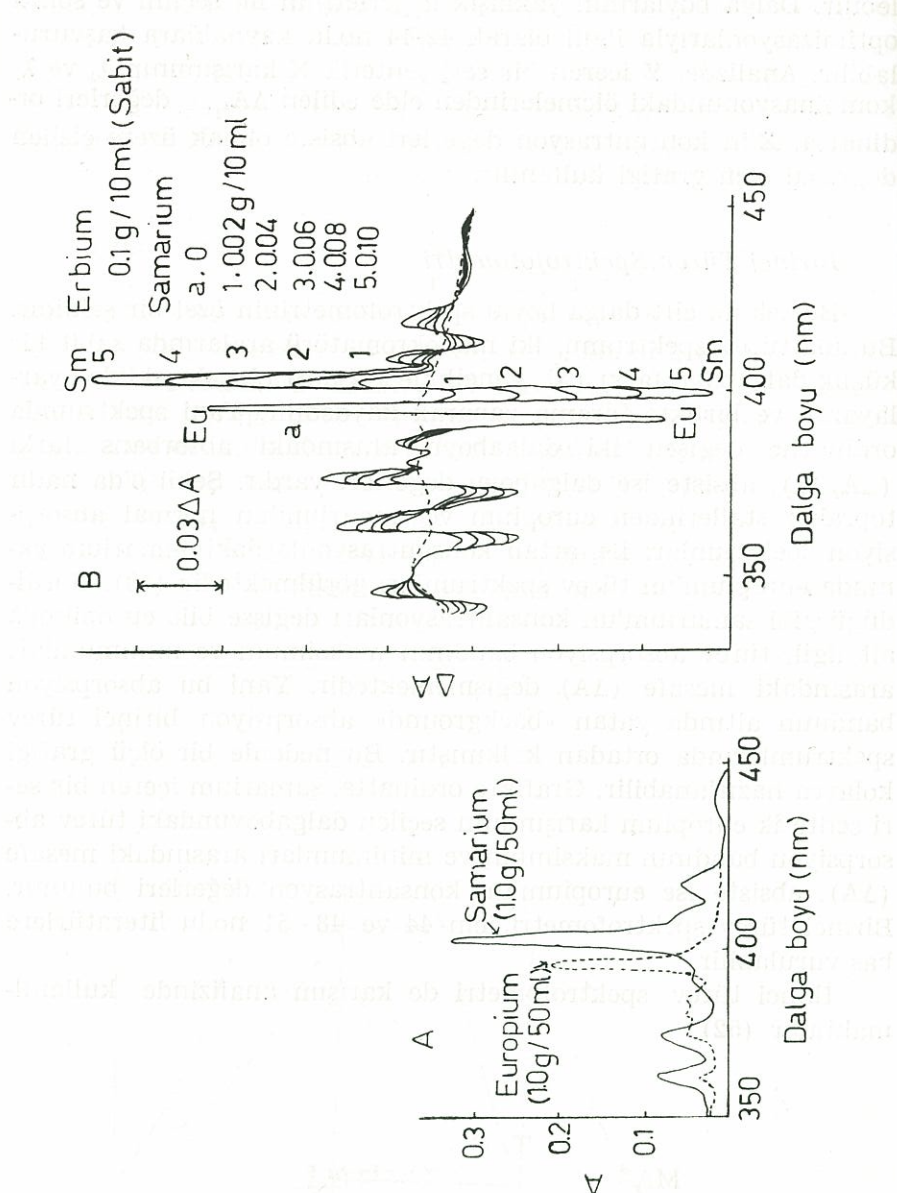
durumlarda spektrum üzerinde başka uygun bir dalga boyu seçilebilir. Dalga boylarının yaklaşık değerlerinin ilk seçimi ve sonra optimizasyonlarıyla ilgili olarak 42-44 no.lu kaynaklara başvurulabilir. Analizde, Y içeren bir seri sentetik X karışımının λ_1 ve λ_2 kombinasyonundaki ölçmelerinden elde edilen $\Delta A_{\lambda_1-\lambda_2}$ değerleri ordinatta, X'in konsantrasyon değerleri absiste olmak üzere çizilen doğrusal ölçü grafiği kullanılır.

Birinci Türev Spektrofometri

Bu teknik çift dalga boylu spektrofometrinin özel bir şeklidir. Burada türev spektrumu, iki monokromatörü aralarında sabit bir küçük dalgaboyu farkı ($\Delta\lambda$, genellikle 1-2 nm) olacak şekilde ayarlayarak ve birlikte tarama yaparak kaydedilir. Yani spektrumda ordinatta, değişen iki dalgaboyu arasındaki absorbans farkı ($\Delta A/\Delta\lambda$), absiste ise dalgaboyu değerleri vardır. Şekil 6'da nadir toprak metallerinden europium ve samarium'un normal absorpsiyon spektrumları ile, artan konsantrasyonlardaki samarium yanında europium'un türev spektrumları görülmektedir (48). Göründüğü gibi samarium'un konsantrasyonları değişse bile europium'a ait ilgili türev absorpsiyon bandının maksimum ve minimumları arasındaki mesafe (ΔA) değişmemektedir. Yani bu absorpsiyon bandının altında yatan «background» absorpsiyon birinci türev spektrumlarında ortadan kalkmıştır. Bu nedenle bir ölçü grafiği kolayca hazırlanabilir. Grafikte ordinatta, samarium içeren bir seri sentetik europium karışımının seçilen dalgaboyundaki türev absorpsiyon bandının maksimum ve minimumları arasındaki mesafe (ΔA), absiste ise europium'un konsantrasyon değerleri bulunur. Birinci türev spektrofometri için 44 ve 48 - 51 no.lu literatürlere baş vurulabilir.

İkinci türev spektrofometri de karışım analizinde kullanılmaktadır (52).

T. C.
MARMARA ÜNİVERSİTESİ
ECZACILIK FAKÜLTESİ
KÜTÜPHANESİ



Şekil 6. Europium'un samarium yanında tayini. (A) Absorpsiyon spektrumları (B) Türev spektrumları. $\Delta\lambda = 2$ nm. (---) baz çizgi. (48 no.lu kaynaktan tercüme edilerek alınmıştır.)

K A Y N A K L A R

1. Tinker, R. B., ve Mcbay, A. J. : *J. Amer. Pharm. Assoc.*, **43**, 315-317 (1954).
2. Miles, J. W., ve English, D. T. : *J. Amer. Pharm. Assoc.*, **43**, 589-592 (1954).
3. Niebergall, P. J., ve Mattocks, A. M. : *Drug Standards*, **28**, 61-64 (1960).
4. Jones, J. H., Clark, G. R., ve Harrow, L. S. : *J. Assoc. Offic. Agr. Chemists*, **34**, 135-148 ve 149-179 (1951).
5. Allen, E., ve Hammaker, E. M. : *Anal. Chem.*, **24**, 1295-1298 (1952).
6. Allen, E., ve Riemann, W. : *Anal. Chem.*, **25**, 1325-1331 (1953).
7. Glenn, A. L. : *J. Pharm. Pharmacol., Suppl.*, **15**, 123-130 (1963).
8. Wahbi, A. M., ve Abdine, H. : *J. Pharm. Pharmac.*, **25**, 69-72 (1973).
9. Wahbi, A. M., ve Ebel, S. : *J. Pharm. Pharmac.*, **26**, 317-324 (1974).
10. Wahbi, A. M., Ebel, S., ve Steffens, U. : *Z. Analyt. Chem.*, **273**, 183-187 (1975).
11. Barnett, H. A., ve Bartoli, A. : *Anal. Chem.*, **32**, 1153-1156 (1960).
12. Sternberg, J. C., Stillo, H. S., ve Schwendeman : *Anal. Chem.*, **32**, 84-90 (1960).
13. Zscheile, F. P., Murray, H. C., Baker, G. A., ve Peddicord, R. G. : *Anal. Chem.*, **34**, 1776-1780 (1962).
14. Cerfontain, H., Duin, H. G. J., ve Vollbracht, L. : *Anal. Chem.*, **35**, 1005-1007 (1963).
15. Arends, J. M., Cerfontain, H., Herschberg, I. S., Prinsen, A. J., ve Wanders, A. C. M. : *Anal. Chem.*, **36**, 1802-1805, (1964).
16. Vasil'ev, A. F. : *Zav. Lab.*, **31**, 677-683 (1965); *Anal. Abstr.*, **14**, 6015 (1967).
17. Katakis, D. : *Anal. Chem.*, **37**, 876-878, (1965).
18. Wojdala, T., *Chemia Analit.*, **12**, 191-193 (1967); *Anal. Abstr.* **15**, 2392 (1968).
19. Przybylski, Z. : *Chemia Analit.*, **13**, 905-908 (1968); *Anal. Abstr.*, **17**, 3999, (1969).
20. Przybylski, Z. : *Chemia Analit.*, **13**, 453-462 (1968); *Anal. Abstr.*, **17**, 2503 (1969).
21. Przybylski, Z., ve Kramarz, J. : *Chemia Analit.*, **13**, 249-261 (1968); *Anal. Abstr.*, **17**, 1279 (1969).
22. Przybylski, Z. : *Chemia Analit.*, **14**, 1047-1061 (1969); *Anal. Abstr.*, **19**, 4613 (1970).
23. Vasil'ev, A. F., ve Pankova, M. B. : *Zav. Lab.*, **38**, 1076-1079 (1972); II. *ibid*, **38**, 1079-1083 (1972); *Anal. Abstr.*, **24**, 2512 (1973).
24. Gudym, V. K., ve Vorob'eva, G. A. : *Zav. Lab.*, **38**, 778-781 (1972); *Anal. Abstr.*, **24**, 1338 (1973).
25. Kats, M. D., ve Rozkin, M.-Ya : *Zav. Lab.* **38**, 688-690 (1972); *Anal. Abstr.*, **24**, 164 (1973).
26. Madsen, B. W., Herbison-Evans, D., ve Robertson, J. S. : *J. Pharm. Pharmacol.*, **26**, 629-636 (1974).

27. Sustak, J. : *Anal. Chem.*, **46**, 1676-79 (1974).
28. Ebel, S., Glaser, E., Abdulla, S., Steffens, U., ve Walter, V. : *Fresenius' Z. Anal. Chem.*, **313**, 24-27 (1982).
29. Kats, M. D. : *Zav. Lab.*, **39**, 160-163 (1973); *Anal. Abstr.*, **25**, 2055 (1973).
30. Clayton, A. W., ve Thiers, R. E. : *J. Pharm., Sci.*, **55**, 404-407 (1966).
31. Pernarowski, M., Knevel, A. M., ve Christian, J. E. : *J. Pharm., Sci.*, **50**, 943 - 945 (1961).
32. Pernarowski, M., Knevel, A. M., ve Christian, J. E. : *J. Pharm. Sci.*, **50**, 946-953 (1961).
33. Cho, M. J., ve Pernarowski, M. : *J. Pharm. Sci.*, **59**, 1333-1335 (1970).
34. Pernarowski, M., Knevel, A. M., ve Christian, J. E. : *J. Pharm. Sci.*, **51**, 688 - 693 (1962).
35. Hirt, R. C., King, F. T., ve Schmitt, R. G. : *Anal. Chem.*, **26**, 1270-1273 (1954).
36. Pride, R. R. A., ve Stern, E. S. : *J. Pharm. Pharmacol.*, **6**, 590-606 (1954).
37. Glenn, A. L. : *J. Pharm. Pharmacol.*, **12**, 595-608 (1960).
38. Yokoyama, F., ve Pernarowski, M. : *J. Pharm. Sci.*, **50**, 953-957 (1961).
39. Pernarowski, M., Searl, R. O., ve Naylor, J. : *J. Pharm. Sci.*, **58**, 470-472 (1969).
40. Chance, B. : *Rev. Sci. Instruments*, **22**, 634-638 (1951).
41. Shibata, S., Furukawa, M., ve Goto, K. : *Anal. Chim. Acta*, **46**, 271-279 (1969).
42. Shibata, S., Furukawa, M., ve Goto, K. : *Anal. Chim. Acta*, **53**, 369-377 (1971).
43. Shibata, S., Goto, K., ve Ishiguro : *Anal. Chim. Acta*, **62**, 305-310 (1972).
44. Porro, T. J. : *Anal. Chem.*, **44**, 93A-103A (1972).
45. Shibata, S., Furukawa, M., ve Honkawa, T. : *Anal. Chim. Acta*, **78**, 487-491 (1975).
46. Honkawa, T. : *Analyt. Lett.*, **9**, 839-848 (1976).
47. Schmitt, A. : *Labor-Praxis*, **3**, 40, 42, 44-45 (1979); *Anal. Abstr.*, **40**, 1J73 (1981).
48. Shibata, S., Furukawa, M., ve Goto, K. : *Anal. Chim. Acta*, **65**, 49-58 (1973).
49. Wahbi, A. M., ve Ebel, S. : *Anal. Chim. Acta*, **70**, 57-63 (1974).
50. Elsayed, M. A-E., Abdine, H. ve Elsayed, Y. M. : *Acta. Pharm. Jugosl.*, **27**, 161-165 (1977); *Anal. Abstr.*, **35**, 1E12 (1978).
51. Korany, M. A., Wahbi, A. M., ve Hewala, I. I. : *Arch. Pharm. Chem. Sci. Ed.*, **12**, 26-30 (1984).
52. Hassan, S. M., ve Davidson, A. G. : *J. Pharm. Pharmacol.*, **36**, 7-10 (1984).

(Received December 2, 1986)